

日本建設公団(前、国鉄岐阜工事局長)

市嶋武親

国鉄 鉄道技術研究所

高橋秀治

国鉄 (前岐阜工事局) 施工課課長

北村 章

## 1. 親不知トンネルの概要

- (1) 型式及断面: 複線鉄道トンネル、内空中 2.54m<sup>2</sup>、高さ 6.94m(F.L.)、掘削断面積 62.1m<sup>2</sup>
- (2) 延長: 4536m、孝原起終 304K 245M ~ 308K 781M,
- (3) 最急勾配: 7‰,
- (4) 工期: 昭和36年8月着工、昭和40年9月15日使用開始,
- (5) 工区: 第一工区、直轄施工 2910m、第二工区 鹿島建設 1626m
- (6) 工法: 底設導坑先進上部半断面工法,
- (7) 地質: 第三紀層の安山岩、安山岩質凝灰岩および凝灰角礫岩の互層と、これと重く安山岩の岩脈から成る。

## 2. 直轄施工の研究課題

- (1) トンネルの急速施工、(2) 土圧と覆工巻厚、(3) 条件を少くする工法、(4) 諸種の実績調査。

## 3. 測定地盤における地盤およびその他の状況

- (1) 位置: 施工坑よりの距離 2030m 附近,
- (2) 地盤: 安山岩質凝灰岩の弱破碎帶、弹性波速度  $V_p = 3600 \sim 3800 \text{ m/s}$ ,
- (3) T-4支保工: H 150 × 150 × 7 × 10 (八幡), 間隔 1.2m,
- (4) 覆工巻厚: T-4コンクリート 60cm,
- (5) 主要計器: 支柱式ロードセル(無応力計使用)、カルソン型ヒズミ計(無応力計使用)

## 4. 鋼アーチ支保工基礎反力の経過(図1)

- (1)  $R_v(L+R)/55\text{日} = R_{vL} + R_{vR} = 2.25t + 2.48t = 4.73t$
- (2)  $R_v(L+R)/60\text{日} = 5.95t + 7.1t = 13.05t$
- (3)  $R_v(L+R)/85\text{日} = 3.55t + 5.3t = 8.85t \dots\dots$  フンクリート施工後 30日
- (4)  $R_v/60\text{日} - R_v/55\text{日} = 13.05t - 4.73t = 8.32t \dots\dots$  主としてコンクリート自重による増加分
- (5)  $R_v/85\text{日} - R_v/55\text{日} = 8.85t - 4.73t = 4.12t \dots\dots$  多分、コンクリート施工→変位抑止→地压。
- (6)  $R_v(L+R)/155\text{日} = 3.85t + 4.53t = 8.38t \dots\dots$  コンクリート施工後 100日
- (7)  $R_v(L+R)/235\text{日} = 4.8t + 5.43t = 10.23t \dots\dots$  コンクリート施工後 180日

コンクリート施工前  $R_v$  の値はほぼ平衡に達したようであるが、覆工コンクリート施工後、何ら外力が作用し、新しい平衡に達しようとしている。

## 5. 覆工応力の解析

- (1) 测定要素、複断面における内縁、および外縁の内周方向のヒズミを測定した。覆工応力の解析にはコンクリートの硬化後に徐々(施工後30日)とせり、その後の変化量を用いた。ヒズミから応

力を求めたのはコンクリートのヤング率  $E = 2.1 \times 10^5 \text{ N/mm}^2$  とした。

(2) コンクリート硬化温度: 最高  $44.5^\circ\text{C}$  / 3日。坑内温度  $18^\circ\text{C}$  まで減衰 (2. ばく平衡に達するまで) 所要日数は 25 ~ 30 日。

(3) 次式を用いてコンクリート施工後 180 日におけるコンクリート応力と外力の状態を求めた結果を図 2 に示す。

$$S_i = \frac{BH}{2} (m_{i+1} - m_i) - \frac{BH^2}{12R} (m_{i+1} - m_i)$$

$$P_i = \frac{BH}{2} \left\{ n_{i+1} \frac{1 - \cos \varphi_i}{\sin \varphi_i} + n_i \frac{\cos \varphi_i - \cos 2\varphi_i}{\sin \varphi_i} \right\} + \frac{BH^2}{12R} (m_{i+1} - m_i) \cot \varphi_i$$

ここで  $m_i = -(S_1 + S_2)_i$ ,  $m_i = -(S_1 - S_2)_i$  である。尚図 2 の  $S_i$  と  $T_i$  との間に、 $T_{i+1} = T_i + S_i$  の関係が成立する。尚  $R = 450 \text{ cm}$ ,  $H = 60 \text{ cm}$  (コンクリートの厚さ),  $B = 100 \text{ cm}$  (奥行)

(4) 解析された覆工の周りの外力の状態には次のようない意味があることを考へよう。

(a) 打込まれたコンクリートの厚さを示す。

(b) 実際の厚さ、覆工背面の隙間および他の要素の相互関係から定まるいわば一時的な力学的意味における厚さを示す。

## 6. 荷重分担

鋼アーチ支保工と覆工コンクリートとの荷重分担状況は図 1 に示されている。コンクリートの荷重は最下段の測定断面における軸力を用いた。これによるとときにはコンクリート施工後 180 日において、鋼アーチ支保工が  $7\%$  ( $R_s = 10t$ ), アーチコンクリートが  $93\%$  ( $R_c = 148t$ ) である。コンクリートと鋼アーチ支保工が一体梁である場合を除き  $7.7\%$ ,  $92.3\%$  である。実験では個々の断面では、同じ 180 日の時点では、 $R_s$  の分が 4 ~ 7% に分散している。コンクリート施工後に支保工および覆工に外力が作用したことは、コンクリート下面にセットされたロードセルによっても明りかである。

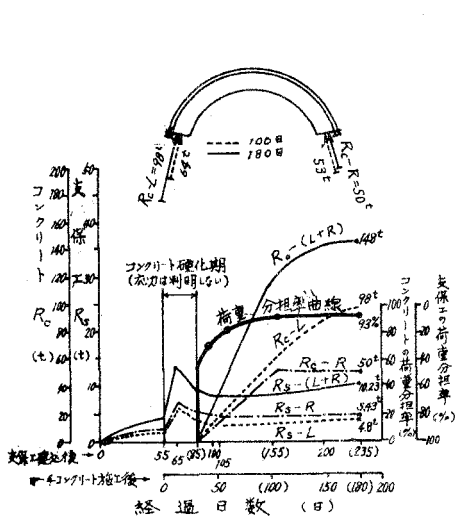


図 1 金剛アーチ支保工と覆工コンクリートの荷重分担状況

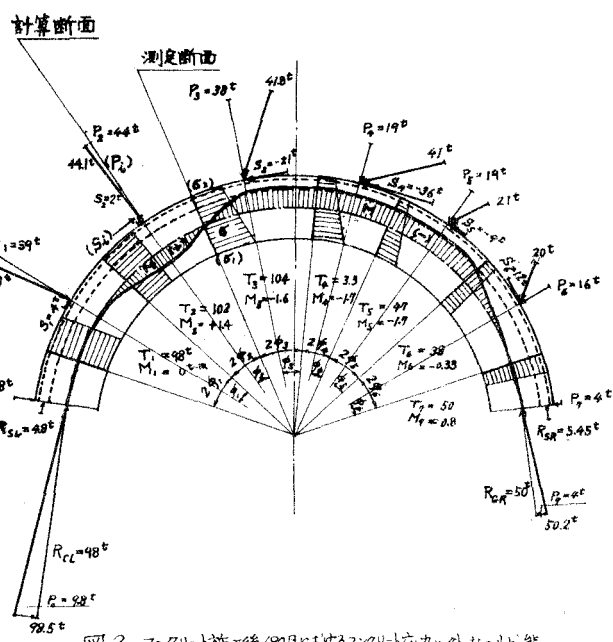


図 2 コンクリート施工後 180 日におけるコンクリート応力と外力の状態